

مدل‌سازی مدارهای فلوتاسیون صنعتی با استفاده از نرم افزارهای صفحه گستردگی، مطالعه موردی: کارخانه زغالشویی زرند

امیر حاجی زاده عمران^۱; غلامعباس پارساپور^{۲*}; صمد بنیسی^۳

۱- کارشناس ارشد فرآوری مواد معدنی- دانشگاه شهید باهنر کرمان.
۲- دانشجوی دکتری فرآوری مواد معدنی- دانشگاه شهید باهنر کرمان.
۳- استاد فرآوری مواد معدنی- دانشگاه شهید باهنر کرمان.

(دریافت ۲۶ خرداد ۹۲، پذیرش ۳ شهریور ۱۳۹۲)

چکیده

یکی از مشکلات مدار فلوتاسیون کارخانه زغالشویی زرند همانند سایر کارخانه‌های فرآوری، تغییرات زیاد خصوصیات خوراک ورودی بهدلیل تعدد معادن تامین کننده زغال سنگ است. با مدل‌سازی مدار فلوتاسیون، می‌توان تغییر پارامترهای متالورژیکی (محتوای خاکستر محصول پرعيار و راندمان) که در نتیجه تغییر خوراک ایجاد می‌شود را پیش‌بینی نمود و راهکارهای مناسب برای رسیدن به نتایج مطلوب را از قبل به کار بست. جهت انجام این کار از مدل سینتیکی مرتبه‌ی اول با ثابت نرخ های توزیع شده بر اساس طبقه‌های ابعادی استفاده گردید. مشخصات گونه‌های مختلف خوراک و توزیع زمان ماند در هر ردیف سلول فلوتاسیون پارامترهای اصلی ورودی در این نوع مدل سازی می‌باشند. زمان ماند متوسط خوراک ورودی در هر کدام از ردیفهای فلوتاسیون کارخانه با استفاده از نمک به عنوان ردیاب به ترتیب برای پرعيارکنی اولیه ۶/۶، رقم‌گیر ۹/۶ و پرعيارکنی ثانویه ۱۲/۶ دقیقه بدست آمد. با انجام آزمون آزمایشگاهی فلوتاسیون، خوراک به پنج گونه‌ی غیرخاکستر تندشناورشونده، غیرخاکستر کندشناورشونده، خاکستر کندشناورشونده، خاکستر و خاکستر غیرقابل شناور تقسیم گردید. با در نظر گرفتن سهم هر کدام از این گونه‌ها و ثابت نرخ سینتیک مربوطه، مدل‌سازی صورت پذیرفت. نتایج اعتبارسنجی مدل نشان داد که با استفاده از این مدل، پارامترهای متالورژیکی کارخانه با دقت خوبی قابل پیش‌بینی است، بطوریکه با حد اطمینان ۹۵ درصد، اختلاف بین مقادیر واقعی و محاسبه شده‌ی راندمان، بین ۱/۴ تا ۵/۷ درصد و اختلاف بین مقادیر واقعی و محاسبه شده‌ی محتوای خاکستر محصول، بین ۰/۹ تا ۴/۰ درصد بدست آمد.

کلمات کلیدی

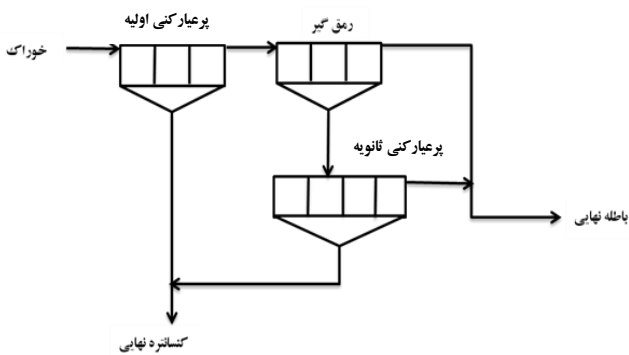
زغالشویی، مدل‌سازی فلوتاسیون، ثابت نرخ سینتیک

ثابت نرخ سینتیک، زمان ماند مربوط به جریان پیستونی، زمان ماند متوسط مربوط به واکنشگر کاملاً مخلوط و تعداد واکنشگر مورد استفاده در مدل سازی توزیع زمان ماند است. در این حالت، الگوی اختلاط هر ردیف فلوتاسیون با به کارگیری n واکنشگر کاملاً مخلوط و یک واکنشگر با جریان پیستونی مدل می‌شود. بنابراین مهمترین پارامترهایی که در این روش مدل سازی مورد نیاز می‌باشند، تعداد و مشخصات گونه‌ها و الگوی اختلاط مواد در ردیف‌های فلوتاسیون است.

$$R = 1 - \frac{e^{-K \cdot \tau p_f}}{(K \cdot \tau + 1)^n} \quad (1)$$

۲-۲ تعیین الگوی اختلاط مواد

مدار فلوتاسیون کارخانه زغالشویی زرند از سه مرحله پر عیار کنی اولیه، رمق گیر و پر عیار کنی ثانویه تشکیل شده است (شکل ۱). مراحل پر عیار کنی اولیه و رمق گیر هر کدام شامل ۳ سلوول و مرحله پر عیار کنی نهایی شامل ۴ سلوول است. برای تعیین الگوی اختلاط پالپ در ردیف‌های مدار فلوتاسیون از نمک به عنوان ردیاب استفاده شد. برای این کار حدود ۲۰ کیلوگرم نمک در آب داغ به صورت محلول درآمد و به طور لحظه‌ای در ورودی هر کدام از ردیف‌های سلوول های پر عیار کنی اولیه، رمق گیر و پر عیار کنی ثانویه اضافه شد. هنگام اضافه شدن محلول نمک به ورودی اولین سلوول هر ردیف، اولین نمونه از باطله همان ردیف گرفته شد و سپس ۲۳ نمونه در فواصل زمانی ۳۰ ثانیه‌ای، ۱۱ نمونه در فواصل زمانی ۶۰ ثانیه‌ای و ۳ نمونه در فواصل زمانی ۹۰ ثانیه‌ای برداشته شد.



شکل ۱- مدار فلوتاسیون کارخانه زغالشویی زرند

مقدار هدایت الکتریکی هر کدام از این نمونه‌ها بوسیله‌ی یک هدایت‌سنج (Hana)، مدل HI 8733 قبل از اندازه‌گیری هر کدام از نمونه‌ها، ابتدا الکترود هدایت‌سنج به مدت ۳۰ ثانیه در دو ظرف محتوى آب خالص قرار داده شد تا اثر نمونه‌های قبلی در الکترود باقی نماند باشد. پس از ثبت هدایت الکتریکی پالپ در زمان‌های مختلف، با استفاده از نرم‌افزار RTD [۶]، منحنی تغییرات هدایت الکتریکی بر حسب

۱- مقدمه

مدل‌سازی فلوتاسیون، بیان ریاضی رابطه‌ی بین متغیرهای تاثیرگذار و کارآیی متالورژیکی فلوتاسیون است. با استفاده از مدل‌سازی فلوتاسیون، عملکرد متالورژیکی (راندمان و محتوای خاکستر محصول پر عیار) فرآیند با توجه به تغییر در متغیرها، قابل پیش‌بینی است. آگاهی از خصوصیات متالورژیکی محصول در هر فرآیند، به راهبران سیستم کمک می‌کند تا رویکردهای کنترلی مناسبی را جهت دستیابی به محصولی با خصوصیات متالورژیکی مطلوب اتخاذ نمایند. محدوده‌ی مدل‌ها از انواع بر مبنای معادلات بنیادی تا انواع تجربی گسترده شده است. مدل‌های استفاده شده در فلوتاسیون را می‌توان به سه نوع کلی مدل‌های تجربی، احتمالاتی و سینتیکی تقسیم نمود [۱]. با توجه به اینکه خصوصیات خوارک مدار فلوتاسیون کارخانه زغالشویی زرند، نوسان زیادی دارد که موجب نوسان در راندمان (نسبت وزنی محصول پر عیار به خوارک) و محتوای خاکستر محصول فلوتاسیون می‌شود؛ در صورتی که بتوان با استفاده از یک مدل مناسب، کارآیی مدار فلوتاسیون را با توجه به خصوصیات مواد ورودی و شرایط عملیاتی مدار با یک روش ساده و سریع پیش‌بینی نمود، این امکان فراهم می‌شود تا شرایط قابل کنترل در عملیات فلوتاسیون برای هر نوع خوارک به شکلی تنظیم گردد تا محصول بدست آمده دارای شرایط مطلوب باشد. از سوی دیگر، مدل‌سازی فلوتاسیون، جزء اصلی در روال بهینه سازی ترکیب مدارهای فلوتاسیون می‌باشد و با انجام آن، امکان انتخاب بهترین ترکیب ممکن نیز فراهم می‌گردد [۲]. مدل سینتیکی مرتبه‌ی اول با ثابت نرخ توزیع-شده، یکی از مدل‌هایی است که برای مدل‌سازی فلوتاسیون به کار گرفته می‌شود [۳-۴]. به دلیل امکان پذیر بودن محاسبه و اندازه‌گیری پارامترهای این نوع مدل، از آن برای پیش‌بینی پارامترهای متالورژیکی مدار فلوتاسیون کارخانه زغالشویی زرند استفاده شد.

۲- متن

۱-۲ روش مدل‌سازی

در این نوع مدل‌سازی ذرات بر اساس ثابت نرخ شناورشوندگی، به چند گونه تقسیم شده و برای هر دسته ثابت نرخ مجزا در نظر گرفته می‌شود. روند مدل‌سازی به این صورت است که با تعیین تعداد گونه‌ها و سهم آنها در ورودی و مشخص بودن ثابت نرخ سینتیکی گونه‌ها، بازیابی هر گونه (R) در هر ردیف فلوتاسیون، با توجه به الگوی اختلاط مواد، از رابطه ۱ محاسبه می‌شود [۵]، که در آن K , p_f , τ و n به ترتیب

رمق گیر رسم گردیدند. با برآش این نقاط بر مدل سینتیکی با دو نرخ شناوری(رابطه ۲) [۸]، هر یک از این ابعاد به ۵ بخش مجزا از لحاظ سینتیکی تقسیم شدند.

$$R = R_{\infty} \left[(\varphi \times (1 - e^{(-K_s \times t)}) + (1 - \varphi) \times (1 - e^{K_f \times t})) \right] \quad (2)$$

که در آن، R_{∞} بازیابی در زمان طولانی(بازیابی حداکثری)، φ سهم بخش کندشناور شونده، $1 - \varphi$ سهم بخش تندشناور شونده و K_s ثابت نرخ سینتیک بخش کندشناور شونده می باشد.

در نتیجه هر کدام از ابعاد به ۵ بخش زیر تقسیم شد:

۱- غیر خاکستر تندشناور شونده(N.Ash(fast))

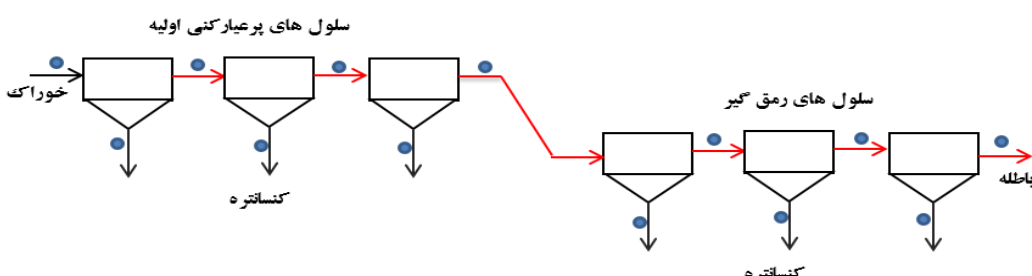
۲- غیر خاکستر کندشناور شونده(N.Ash(slow))

۳- خاکستر تندشناور شونده(Ash(fast))

۴- خاکستر کندشناور شونده(Ash(fast))

۵- خاکستر و غیر خاکستر غیر قابل شناور(Gangue)

روش محاسبه سهم و ثابت نرخ سینتیک هر کدام از گونه ها در خوارک فلوتاسیون به این صورت بود که ثابت نرخ سینتیک غیر خاکستر و خاکستر بخش های تند و کندشناور شونده، بازیابی حداکثری غیر خاکستر و خاکستر بخش های تند و کندشناور شونده مربوط به هر کدام از محدوده های ابعادی، با برآش اطلاعات آزمایش سینتیک صنعتی بر معادله ۲ بدست آمد. با داشتن بازیابی غیر خاکستر و خاکستر بخش های تند و کندشناور شونده برای هر دامنه ابعادی، مقدار مواد غیر خاکستر و خاکستر هر بخش که به محصول پر عیار راه پیدا کرده اند، محاسبه شد. ثابت نرخ سینتیک مواد غیر خاکستر و خاکستر راه یافته به محصول پر عیار از مجموع ضرب ثابت نرخ سینتیک غیر خاکستر و خاکستر هر بعد، در سهم آن بدست آمد. برای بقیه مواد غیر خاکستر و خاکستر که به باطله راه پیدا می کند ثابت نرخ سینتیک صفر در نظر گرفته شد.



شکل ۲- محلهای نمونه برداری از سلولهای پر عیار کننی اولیه (●: محل نمونه گیری)

الگوی اختلاط ردیفها، در صد جامد هر کدام از جریان ها و دبی ورودی به مدار فلوتاسیون، محاسبات مدل سازی با استفاده از صفحه گسترده اکسل (Excel) انجام شد. روش انجام مراحل و

زمان بدست آمده با مدل N-Mixer مدل سازی شد و متوسط زمان ماند و الگوی اختلاط هر کدام از ردیفها بدست آمد.

۳-۲- تعیین گونه ها

از آنجائیکه اندازه ذرات زغالسنگ بر رفتار سینتیکی آنها تاثیر می گذارد، در مرحله ای اول، محدوده دانه بندی ذرات، مبنای تقسیم بندی گونه ها قرار گرفت. برای این منظور، راندمان در زمان طولانی و ثابت نرخ سینتیک هر کدام از محدوده های ابعادی (+۷۵، +۷۵، +۱۵۰، +۳۰۰، +۵۰۰، +۷۱۰، +۱۰۰۰) تعیین گردیدند.

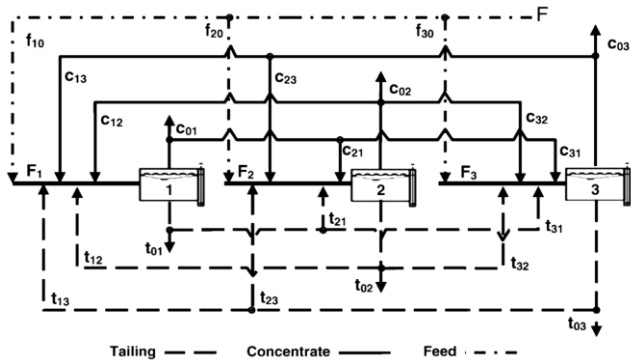
برای تعیین پارامترهای سینتیکی در مدار کارخانه از ورودی، باطله و محصول پر عیار هر کدام از سلولهای پر عیار کننی اولیه و رمق گیر، در سه نوبت با فاصله زمانی ۳۰ دقیقه، نمونه هایی گرفته شد. محلهای نمونه برداری از سلول ها در شکل ۲ با دایره نشان داده شده اند. لازم به توضیح است که مدار نمایش داده شده در شکل ۲ مراحل پر عیار کننی اولیه و رمق گیر نشان داده شده در شکل ۱ است.

برای ساده تر کردن مراحل نمونه برداری و آنالیز سرندی، دامنه های ابعادی با توجه به تغییرات ثابت نرخ سینتیکی آنها گروه بندی شدند. بهترین گروه بندی با توجه به مقادیر ثابت نرخ سینتیک و تغییرات راندمان در دامنه های ابعادی مختلف انتخاب گردید. چون زغالسنگ ترکیبی از محتوی خاکستر و زغال خالص (غیر خاکستر) می باشد، لذا مرحله دوم در تعیین گونه ها، تفکیک هر کدام از دامنه های ابعادی به بخش های خاکستر و غیر خاکستر بود. در نهایت، چون هر کدام از بخش های خاکستر و غیر خاکستر می توانند قابلیت شناوری شناوری سریع و کند تقسیم گردیدند.

برای اینکه بتوان این تقسیم بندی را در مورد هر کدام از ابعاد انجام داد، بازیابی تجمعی غیر خاکستر و خاکستر هر بخش ابعادی نسبت به زمان ماند در سلول های پر عیار کننی اولیه و

۴-۴- مدل سازی فلوتاسیون

پس از تعیین گونه های موجود در خوارک فلوتاسیون،



شکل ۳- پارامترهای ساختاری در یک مدار فلوتواسیون
سه مرحله‌ای [۷]

باید توجه داشت که c_{ij} و t_{ij} مقادیری بین صفر تا یک دارند. عامل غنی‌شدگی (g_i^m) برای گونه m در ردیف سلول آم به صورت رابطه ۴ تعریف می‌شود.

$$g_i^m = \frac{c_i^m}{T_i^m} \quad (4)$$

رابطه ۳ را می‌توان به صورت زیر نوشت:

$$\sum_{j=1}^N C_j^m c_{ij} - \sum_{j=1}^N T_j^m t_{ij} = C_i^m + T_i^m - F_i^m \quad (5)$$

اگر از دو عبارت مجموع، یک عضو که در آن i و j برابر هستند بیرون آورده شود، رابطه ۵ به صورت زیر در خواهد آمد:

$$F_i^m = C_i^m - T_i^m - C_i^m c_{ii} \sum_{j=1, j \neq i}^N C_j^m c_{ij} - t_{ii} T_i^m - \sum_{j=1, j \neq i}^N T_j^m t_{ij} \quad (6)$$

با جایگذاری رابطه ۴ در رابطه ۶ داریم:

$$F_i^m = (1 + g_i^m) T_i^m - \sum_{j=1, j \neq i}^N (t_{ij} + g_j^m c_{ij}) T_j^m \quad (7)$$

برای اینکه حل معادلات موازنه جرم برای مدارهایی با تعداد زیاد ردیف سلولی ساده‌تر باشد، می‌توان رابطه ۷ را به صورت ماتریسی نوشت و با استفاده از روابط مربوط به ماتریس‌ها معادلات را حل کرد. شکل ماتریسی رابطه ۷ به صورت رابطه ۸ می‌باشد.

$$[F^m] = [G^m] \times [T^m] \quad (8)$$

که در آن $[F^m]$ یک بردار $N \times 1$ و $[G^m]$ یک ماتریس $N \times N$ و $[T^m]$ یک بردار $N \times 1$ است. رابطه ۸ باید برای هر گونه نوشته و حل شود، در نتیجه برای خوارکی که شامل M گونه باشد باید M معادله ماتریسی طبق رابطه ۸ نوشته و حل شود. برای مثال شکل ماتریسی موازنه جرم گونه m برای مداری شامل سه ردیف سلول به صورت زیر می‌باشد [۷]:

محاسبات مربوط به مدل‌سازی به صورت زیر می‌باشد:

اگر خوارک مدار بر اساس ثابت نرخ فلوتواسیون (K) به M گونه تقسیم شود و مدار شامل N ردیف سلول باشد، موازنه جرم مربوط به گونه m در ردیف سلول آم به صورت رابطه ۳ است [۷]:

$$\bar{F}_i^m = F_i^m + \sum_{j=1}^N C_j^m c_{ij} + \sum_{j=1}^N T_j^m t_{ij} = C_i^m + T_i^m \quad (3)$$

\bar{F}_i^m : کل ورودی از گونه m به ردیف سلول آم

F_i^m : مقدار گونه m در خوارک تازه ورودی به ردیف

سلول آم

C_j^m : کل محصول پرعیار خروجی از ردیف سلول آم مربوط

به گونه m

T_j^m : کل باطله خروجی از ردیف سلول آم مربوط به گونه

m

c_{ij} : کسری از محصول پرعیار سلول j که به سلول i وارد

می‌شود.

t_{ij} : کسری از باطله سلول j که به سلول i وارد می‌شود.

f_{i0} : سهم سلول i از خوارک ورودی

یک مجموعه از مقادیر f_{i0} , c_{ij} و t_{ij} مشخص‌کننده‌ی یک

ترکیب (شکل ۳) معین از مدار فلوتواسیون می‌باشد. به همین دلیل، این مجموعه متغیرها، پارامترهای ساختاری مدار نامیده می‌شود (شکل ۳).

پارامترهای ساختاری (t_{ij}, c_{ij}, f_{ij}) در واقع یک نوع توصیف ارتباط بین بخش‌های مختلف مدار فلوتواسیون به زبان ریاضی می‌باشد. f_{i0} بیان‌کننده بخشی از خوارک است که وارد اولین سلول می‌شود. اگر f_{i0} برابر یک باشد بدین معناست که همه خوارک ورودی در ابتدا وارد اولین سلول می‌شود. C_{02} نشان‌دهنده بخشی از کنسانتره سلول دوم است که بیرون می‌رود. اگر کنسانتره سلول دوم وارد سلول سوم گردد، C_{02} برابر صفر خواهد بود. مقدار t_{03} زمانی برابر یک می‌باشد که باطله سلول سوم از مدار خارج شود.

ماند $\tau_{pf,i}$ باشد، مقدار g_i^m به صورت زیر قابل محاسبه است:

میزان از دسترفتن گونه m یا هدرروی برابر است با:

$$T_i^m = \frac{e^{K^m \tau_{pf,i}}}{(1+K^m \tau_i)^z} F_i^m \quad (18)$$

رابطه ۴ را می‌توان به صورت زیر نوشت:

$$g_i^m = \frac{F_i^m - T_i^m}{T_i^m} \quad (19)$$

با جایگذاری رابطه ۱۸ در ۱۹ خواهیم داشت:

$$g_i^m = \frac{(1+K_m \tau_i)^z}{e^{K^m \tau_{pf,i}}} - 1 \quad (20)$$

با استفاده از اطلاعات اولیه مربوط به خوارک و مشخص کردن پارامترهای ساختاری مدار ($f_{0i,t_{ij}}, c_{ij}$) و الگوی اختلاط در هر ردیف سلول، روال مدل‌سازی مدار فلوتاسیون آغاز می‌شود. با توجه به رابطه ۲۰ می‌توان مشاهده کرد که مقدار غنی‌شدنی برای هر گونه در یک ردیف به τ_i و $T_{pf,i}$ بستگی دارد و با مشخص شدن این عوامل، مقدار g_i برای همه گونه‌ها قبل محاسبه است.

با مشخص کردن مقدار τ_i ها و با در نظر گرفتن متغیرهای ساختاری مدار مورد نظر، می‌توان مقدار T ‌ها را محاسبه کرد. با مشخص کردن مقدار باطله خروجی از هر ردیف سلول، دبی باطله آن ردیف مشخص می‌شود. با توجه به اینکه زمان ماند در هر ردیف سلول به دبی باطله وابسته است، در نتیجه در صورت تفاوت قابل توجه بین دبی باطله حاصل از مدل‌سازی با دبی باطله در زمان تعیین الگوی اختلاط باید مراحل مدل‌سازی با در نظر گرفتن زمان ماند جدید تکرار شود.

اگر $\tau_{pf,i}$ زمان ماند مربوط به دبی i باشند که برای شروع مدل‌سازی استفاده شده اند و دبی محاسبه شده از مدل‌سازی باشد، زمان ماندهای جدید ($\tau'_i, \tau'_{pf,i}$) برای تکرار مدل‌سازی از روابط ۲۱ و ۲۲ قابل محاسبه است.

$$\tau'_{pf,i} = \tau_{pf,i} \times \frac{Q_t}{Q_{t(model)}} \quad (21)$$

$$\tau'_i = \tau_i \times \frac{Q_t}{Q_{t(model)}} \quad (22)$$

با مشخص شدن زمان ماندهای جدید، مراحل مدل‌سازی تکرار می‌شود تا زمانی که نسبت $\frac{Q_t}{Q_{t(model)}}$ برابر یک شود. سپس کارایی متالورژیکی از روابط ۱۲ و ۱۷ محاسبه می‌شود.^[۲]

اطلاعات مربوط به سهم هر کدام از ابعاد توسط کاربر در قسمت ورودی اطلاعات (Input data) وارد می‌شود و با توجه به روش ذکر شده، درصد و سهم هر کدام از ۵ گونه در قسمت گونه‌ها (Species) محاسبه می‌گردد. اطلاعات مربوط به تناثر

$$\begin{bmatrix} F_1^m \\ F_2^m \\ F_3^m \end{bmatrix} = \begin{bmatrix} 1 + g_1^m & -(t_{12} + g_2^m c_{12}) & -(t_{13} + g_3^m c_{13}) \\ -(t_{21} + g_1^m c_{21}) & 1 + g_2^m & -(t_{23} + g_3^m c_{23}) \\ -(t_{31} + g_1^m c_{31}) & -(t_{32} + g_2^m c_{32}) & 1 + g_3^m \end{bmatrix} \times \begin{bmatrix} T_1^m \\ T_2^m \\ T_3^m \end{bmatrix}$$

به طور کلی:

$$G_{ij}^m = \begin{cases} 1 + g_j^m & : i = j \\ -(t_{ij} + g_j^m c_{ij}) & : i \neq j \end{cases} \quad (9)$$

باید توجه داشت که رابطه ۹ باید با محدودیتهای زیر حل گردد.

$$c_{0j} + \sum_{i=1}^N c_{ij} = 1 \quad (10)$$

(مجموع کسر جرمی محصول پرعیار سلول زام برابر ۱ است)

$$t_{0j} + \sum_{i=1}^N t_{ij} = 1 \quad (11)$$

(مجموع کسر جرمی محصول پرعیار سلول زام برابر ۱ است)

با حل رابطه ۸، مقدار ماتریس $[T^m]$ مشخص می‌شود. با مشخص بودن ماتریس $[T^m]$ ، مقدار محصول پرعیار و باطله خروجی از مدار برای هر گونه از روابط ۱۲ و ۱۳ قابل محاسبه می‌باشد.

$$C_0 = \sum_{m=1}^M \sum_{j=1}^N c_{0j} g_j^m T_j^m \quad (12)$$

$$T_0 = \sum_{m=1}^M \sum_{j=1}^N t_{0j} T_j^m \quad (13)$$

اگر w^m جزء جرمی ماده بالارزش در گونه m ام باشد، مقدار ماده با ارزش در خوارک تازه ورودی به مدار (M_f) و محصول پرعیار (M_c) به ترتیب از روابط ۱۴ و ۱۵ بدست می‌آید.

$$M_f = \sum_{m=1}^M \sum_{j=1}^N w^m F_j^m \quad (14)$$

$$M_c = \sum_{m=1}^M \sum_{j=1}^N w^m c_{0j} g_j^m T_j^m \quad (15)$$

در نتیجه عیار محصول پرعیار (G) و بازیابی مدار (R) با استفاده از روابط ۱۶ و ۱۷ می‌تواند محاسبه شود.^[۵]

$$G = \frac{M_c}{C_0} \times 100 \quad (16)$$

$$R = \frac{M_c}{M_f} \times 100 \quad (17)$$

غنی‌شدنی، با توجه به الگوی اختلاط ردیف سلول‌ها، تعریف می‌شود. برای مثال اگر ردیف سلول زام معادل z_i ظرف مخلوط کامل با زمان ماند i و یک ظرف پیستونی با زمان

ورودی به مدار فلوتاسیون، درصد جامد خوراک و کنسانتره، زمان ماند و دبی باطله هر کدام از ردیفها در زمان اندازه‌گیری زمان ماند و پارامترهای ساختاری نیز با توجه به مدار فلوتاسیون کارخانه زغالشویی زرند (شکل ۱) مطابق جدول ۱ در قسمت Circuit وارد می‌شود.

پارامترهای ساختاری این مدار به این صورت می‌باشند که f_{10} بیان کننده بخشی از خوراک است که وارد پرعيارکنی اولیه می‌شود. اگر f_{10} برابر یک باشد بدین معناست که همه خوراک C_{02} ورودی در ابتدا وارد سلول‌های پرعيارکنی اولیه می‌شود. نشان‌دهنده بخشی از کنسانتره ردیف دوم است که بیرون می‌رود. اگر کنسانتره مرحله دوم وارد مرحله سوم (پرعيارکنی ثانویه) گردد، C_{02} برابر صفر خواهد بود و C_{03} برابر یک است.. مقادیر t_{02} و t_{03} برابر یک می‌باشد که نشان‌دهنده این است که باطله ردیفهای دوم و سوم از مدار خارج می‌شود. محاسبات مربوط به مدل‌سازی مدار در حالت پایدار برای هر ۵ گونه به طور جداگانه انجام شد (جدول ۲).

جدول ۱ بخش ورود اطلاعات برای شبیه سازی مدار فلوتاسیون را نمایش می‌دهد. در این جدول اطلاعات دانه‌بندی خوراک، خصوصیات گونه‌های مختلف (سهم گونه (x)، دانسیته گونه (ps)، درصد زغال‌سنگ (coal) و ثابت نرخ سینتیک (k)، درصد جامد خوراک (Solids Percent-Feed) و کنسانتره (Solids Percent-Concentrate) و اطلاعات توزیع زمان ماند (zمان مربوط به جریان پیستونی (tpf)، تعداد واکنشگر کاملاً مخلوط (z) و واکنشگر کاملاً مخلوط (τ)، تعداد واکنشگر کاملاً مخلوط (Q tail) را دبی باطله در زمان اندازه گیری توزیع زمان ماند (t02) را نشان می‌دهد) در هر مرحله، دبی خوراک (Feed) و پارامترهای ساختاری مدار نمایش داده شده‌اند.

جدول ۱- بخش ورود اطلاعات شبیه سازی مدار فلوتاسیون

Input data		Circuit		
Size(µm)	(%)	First Bank		Feed(t/h)
300	23.9	Solids Percent		13.0
75	28.7	Feed	8.8	
-75	47.4	Concentrate	30	
		RTD		
		tpf (min)	0.4	f_{10}
		τ (min)	2.4	0
		z	2.64	1
		Q tail (m³/h)	89.0	C_{01}
Species		Second Bank		
N.Ash(fast)[1]		Solids Percent		C_{11}
x1 (%)	41.3	Feed	6.5	0
ps (t/m³)	0.9	Concentrate	9	C_{12}
coal (%)	100.0	RTD		1
k (1/min)	1.01	tpf (min)	0.7	C_{13}
N.Ash(slow)[2]		τ (min)	3.0	0
x2 (%)=	27.7	z	3	C_{14}
ps (t/m³)	1.2	Q tail (m³/h)	61.0	C_{15}
coal (%)	100.0	Third Bank		t_{11}
k (1/min)	0.1	Solids Percent		t_{21}
Ash(fast)[3]		Feed	9.0	t_{31}
x3 (%)=	3.2	Concentrate	25	t_{01}
ps (t/m³)	1.8	RTD		t_{12}
coal (%)	0	tpf (min)	2.0	t_{22}
k (1/min)	0.8	τ (min)	3.5	t_{32}
Ash(slow)[4]		z	3.08	t_{02}
x4 (%)	16.5	Q tail (m³/h)	15.5	t_{13}
ps (t/m³)	2.0			t_{23}
coal (%)	0.0			t_{33}
k (1/min)	0.04			t_{03}
gangue[5]				
x5 (%)=	11.3			
ps (t/m³)	2.2			
coal (%)	45.0			
k (1/min)	0.0			

جدول ۲ نتایج حاصل از وارد کردن اطلاعات جدول ۱ را نمایش می‌دهد. در این جدول تناز کل هر گونه (F_t)، تناز ورودی از هر گونه به هر ردیف فلوتاسیون (F_i)، عامل غنی شوندگی برای هر گونه (g_i)، میزان محصول پرعيارکنی هر گونه در هر ردیف فلوتاسیون (C_0)، میزان هدر روی هر گونه در هر ردیف (T_0) و چند پارامتر دیگر که برای محاسبه میزان محصول و میزان هدر روی هر گونه نیاز می‌باشند و در روابط قبلی ذکر شده اند نمایش داده شده اند. در آخرین ستون نمایش داده شده در جدول ۲ نیز تناز کل خوراک (F_t ، تناز خوراک از هر گونه ($F_i(t)$))، تناز راهیافته به کنسانتره از هر گونه

نمایش داده شده‌اند.

($T_0(t)$) و ($C_0(t)$) و تنازع هدر روی شده به باطله از هر گونه

جدول ۲- محاسبات مربوط به شبیه‌سازی مدار فلوتاسیون کارخانه زغالشویی زرند با پنج گونه

1st Specie	2nd Specie	3rd Specie	4th Specie	5th Specie	Total
$F_t(t/h) = 5.37$	$F_t(t/h) = 3.61$	$F_t(t/h) = 0.41$	$F_t(t/h) = 2.14$	$F_t(t/h) = 1.48$	$F_t(t/h) = 13.00$
$F_i(1)(t/h) = \begin{vmatrix} 5.37 \\ 0.00 \\ 0.00 \end{vmatrix}$	$F_i(2)(t/h) = \begin{vmatrix} 3.61 \\ 0.00 \\ 0.00 \end{vmatrix}$	$F_i(3)(t/h) = \begin{vmatrix} 0.41 \\ 0.00 \\ 0.00 \end{vmatrix}$	$F_i(4)(t/h) = \begin{vmatrix} 2.14 \\ 0.00 \\ 0.00 \end{vmatrix}$	$F_i(5)(t/h) = \begin{vmatrix} 1.48 \\ 0.00 \\ 0.00 \end{vmatrix}$	$F_i(t)(t/h) = \begin{vmatrix} 5.37 \\ 3.61 \\ 0.41 \\ 2.14 \\ 1.48 \end{vmatrix}$
$T/F_i(1) = \begin{vmatrix} 0.05 \\ 0.01 \\ 0.00 \end{vmatrix}$	$T/F_i(2) = \begin{vmatrix} 0.64 \\ 0.45 \\ 0.36 \end{vmatrix}$	$T/F_i(3) = \begin{vmatrix} 0.08 \\ 0.02 \\ 0.01 \end{vmatrix}$	$T/F_i(4) = \begin{vmatrix} 0.84 \\ 0.73 \\ 0.67 \end{vmatrix}$	$T/F_i(5) = \begin{vmatrix} 1.00 \\ 1.00 \\ 1.00 \end{vmatrix}$	$T/F_i(t) = \begin{vmatrix} 0.00 \\ 0.00 \\ 1.49 \end{vmatrix}$
$g_i(1) = \begin{vmatrix} 18.61 \\ 105.94 \\ 484.92 \end{vmatrix}$	$g_i(2) = \begin{vmatrix} 0.571 \\ 1.23 \\ 1.75 \end{vmatrix}$	$g_i(3) = \begin{vmatrix} 11.73 \\ 56.08 \\ 197.6 \end{vmatrix}$	$g_i(4) = \begin{vmatrix} 0.19 \\ 0.37 \\ 0.48 \end{vmatrix}$	$g_i(5) = \begin{vmatrix} 0.00 \\ 0.00 \\ 0.00 \end{vmatrix}$	$T_0(t)(t/h) = \begin{vmatrix} 1.49 \\ 0.00 \\ 1.64 \\ 1.48 \end{vmatrix}$
$G(1) = \begin{vmatrix} 19.6 & 0 & 0 \\ -1 & 106.9 & 0 \\ 0 & -105.9 & 485.9 \end{vmatrix}$	$G(2) = \begin{vmatrix} 1.571 & 0 & 0 \\ -1 & 2.23 & 0 \\ 0 & -1.23 & 2.8 \end{vmatrix}$	$G(3) = \begin{vmatrix} 12.73 & 0 & 0 \\ -1 & 57.08 & 0 \\ 0 & -56.1 & 199 \end{vmatrix}$	$G(4) = \begin{vmatrix} 1.2 & 0 & 0 \\ -1 & 1.4 & 0 \\ 0 & -0.4 & 1.5 \end{vmatrix}$	$G(5) = \begin{vmatrix} 1.0 & 0 & 0 \\ -1 & 1.0 & 0 \\ 0 & 0.0 & 1.0 \end{vmatrix}$	$C_0(t)(t/h) = \begin{vmatrix} 5.36 \\ 2.12 \\ 0.41 \\ 0.49 \\ 0.00 \end{vmatrix}$
$G^{-1}(1) = \begin{vmatrix} 0.051 & 0 & 0 \\ 0.000 & 0.009 & 0 \\ 0.000 & 0.002 & 0.002 \end{vmatrix}$	$G^{-1}(2) = \begin{vmatrix} 0.636 & 0 & 0 \\ 0.285 & 0.45 & 0 \\ 0.128 & 0.2 & 0.4 \end{vmatrix}$	$G^{-1}(3) = \begin{vmatrix} 0.079 & 0 & 0 \\ 0.001 & 0.018 & 0 \\ 4E-04 & 0.005 & 0.01 \end{vmatrix}$	$G^{-1}(4) = \begin{vmatrix} 0.842 & 0 & 0 \\ 0.617 & 0.732 & 0 \\ 0.152 & 0.181 & 0.675 \end{vmatrix}$	$G^{-1}(5) = \begin{vmatrix} 1.000 & 0 & 0 \\ 1.000 & 1.000 & 0 \\ 0.000 & 0.000 & 1.000 \end{vmatrix}$	
$T_i(1)(t/h) = \begin{vmatrix} 0.27 \\ 0.00 \\ 0.00 \end{vmatrix}$	$T_i(2)(t/h) = \begin{vmatrix} 2.29 \\ 1.03 \\ 0.46 \end{vmatrix}$	$T_i(3)(t/h) = \begin{vmatrix} 0.03 \\ 0.00 \\ 0.00 \end{vmatrix}$	$T_i(4)(t/h) = \begin{vmatrix} 1.80 \\ 1.32 \\ 0.33 \end{vmatrix}$	$T_i(5)(t/h) = \begin{vmatrix} 1.48 \\ 1.48 \\ 0.00 \end{vmatrix}$	
$C_i(1)(t/h) = \begin{vmatrix} 5.09 \\ 0.27 \\ 0.27 \end{vmatrix}$	$C_i(2)(t/h) = \begin{vmatrix} 1.31 \\ 1.27 \\ 0.81 \end{vmatrix}$	$C_i(3)(t/h) = \begin{vmatrix} 0.38 \\ 0.03 \\ 0.03 \end{vmatrix}$	$C_i(4)(t/h) = \begin{vmatrix} 0.34 \\ 0.48 \\ 0.16 \end{vmatrix}$	$C_i(5)(t/h) = \begin{vmatrix} 0.00 \\ 0.00 \\ 0.00 \end{vmatrix}$	
$T_0(1)(t/h) = \begin{vmatrix} 0.00 \\ 0.00 \\ 0.00 \end{vmatrix}$	$T_0(2)(t/h) = \begin{vmatrix} 0.00 \\ 1.03 \\ 0.46 \end{vmatrix}$	$T_0(3)(t/h) = \begin{vmatrix} 0.00 \\ 0.00 \\ 0.00 \end{vmatrix}$	$T_0(4)(t/h) = \begin{vmatrix} 0.00 \\ 1.32 \\ 0.33 \end{vmatrix}$	$T_0(5)(t/h) = \begin{vmatrix} 0.00 \\ 1.48 \\ 0.00 \end{vmatrix}$	
$C_0(1)(t/h) = \begin{vmatrix} 5.09 \\ 0.00 \\ 0.27 \end{vmatrix}$	$C_0(2)(t/h) = \begin{vmatrix} 1.31 \\ 0.00 \\ 0.81 \end{vmatrix}$	$C_0(3)(t/h) = \begin{vmatrix} 0.38 \\ 0.00 \\ 0.03 \end{vmatrix}$	$C_0(4)(t/h) = \begin{vmatrix} 0.34 \\ 0.00 \\ 0.16 \end{vmatrix}$	$C_0(5)(t/h) = \begin{vmatrix} 0.00 \\ 0.00 \\ 0.00 \end{vmatrix}$	

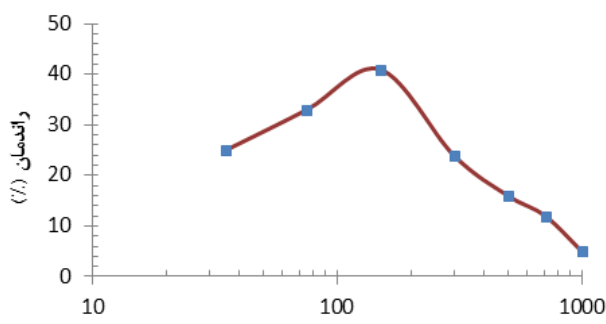
- زمان ماند متوسط واکنشگر کاملاً مخلوط

*: زمان ماند متوسط، **: مجموع مربعات خطأ، ***: تعداد

واکنشگر کاملاً مخلوط

۶-۲- تعداد گونه مورد نیاز جهت مدل سازی

رابطه راندمان و اندازه ذرات برای مواد ورودی به مدار فلوتاسیون در شکل ۶ آمده است.



شکل ۴- رابطه اندازه ذرات و راندمان در مدار فلوتاسیون کارخانه

۵-۲- الگوی اختلاط مواد در ردیفها

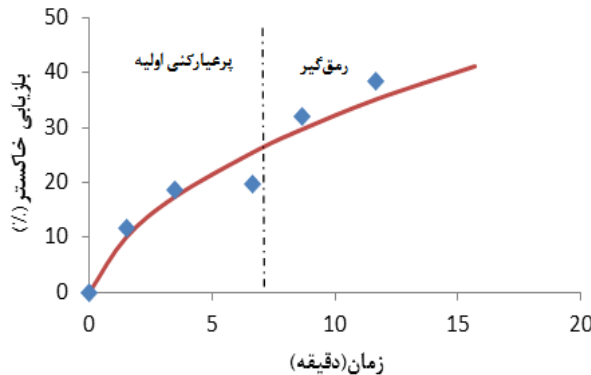
جدول ۳ مقادیر مربوط به پارامترهای زمان ماند را برای هر سه ردیف نشان می دهد. مقادیر پارامترها از برآش داده های آزمایشگاهی با مدل بدست آمد.

جدول ۳- اطلاعات مربوط به تعیین زمان ماند مواد در سه ردیف (N-Mixer)

پارامتر اردیف	رقم گیر اولیه	پر عیار کنی ثانویه
$\tau_{pf}^+(min)$	۰/۳۹	۱/۹۸
$\tau^-(min)$	۲/۳۵	۳/۴۸
N^{***}	۲/۶۴	۳/۰۸
$\tau_{ave}(min)^*$	۶/۵۹	۹/۵۵
$S.S.E^{**}$	۰/۳۱	۰/۱۴

: زمان مربوط به جریان پیستونی τ_{pf}^+

-۳۰۰ میکرون را نشان می‌دهد. جدول ۵ مقادیر حاصل از برازش مدل سینتیکی با دو نرخ شناوری را بر داده‌های بدست آمده از بررسی سینتیکی مدار فلوتاسیون کارخانه در سه محدوده دانه‌بندی نشان می‌دهد.



شکل ۵ - رابطه بازیابی خاکستر تجمعی دامنه $+75$ تا -300 میکرون با زمان فلوتاسیون در سلول‌های پرعيارکنی اولیه و رمق گیر در جدول ۵ R_{∞} بازیابی حداکثری، K_f ثابت نرخ سینتیک مواد با شناوری بالا، K_s ثابت نرخ سینتیک مواد با شناوری پایین و Φ سهم مواد با شناوری پایین می‌باشدند. سهم و ثابت نرخ سینتیک هر کدام از این ۵ گونه برای دامنه‌های -75 و $+75$ تا -300 میکرون نیز با روش بالا محاسبه گردید و گونه‌های با خصوصیات مشابه در هر کدام از این سه محدوده ابعادی با توجه به سهم این ابعاد در خوراک با یکدیگر جمع شدندو در نهایت کل خوراک به ۵ گونه تقسیم شد (جدول ۶).

بیشترین راندمان برای محدوده ابعادی $+75$ تا -300 میکرون بدست آمد. ذرات کوچکتر از این محدوده به دلیل داشتن خاکستر بالا و ذرات بزرگتر از این محدوده به دلیل عدم توانایی حباب در انتقال آنها به کف، راندمان پایینی دارند. با توجه به شکل ۴ می‌توان ذرات زغال‌سنگ را از لحاظ راندمان به سه محدوده ابعادی تقسیم نمود و به عنوان مبنای اولیه برای یافتن گونه‌های موجود در خوراک از این نتایج استفاده نمود. نتایج آزمایش‌های سینتیک مربوط به دامنه ابعادی مختلف نیز در جدول ۴ آمده است. با توجه به جدول ۴ مشاهده می‌شود که ثابت نرخ سینتیک دامنه ابعادی زیر 75 میکرون تفاوت فاحشی با سایر دامنه‌ها دارد و درنتیجه این دامنه می‌تواند به عنوان یک گونه درنظر گرفته شود. همچنین سایر محدوده‌های ابعادی را با توجه به نزدیک بودن ثابت‌های نرخ سینتیک می‌توان به دو گونه مجزای بین 75 و 300 میکرون و درشت تر از 300 میکرون در نظر گرفت. البته شایان ذکر است که مواد درشت تر از 75 میکرون را با توجه به سهم پایین آنها در خوراک نمی‌توان به عنوان یک گونه مجزا درنظر گرفت. بنابراین با توجه به شکل ۴ و جدول ۴ می‌توان خوراک را از لحاظ سینتیکی به سه دامنه ابعادی -75 ، $+75$ و -300 میکرون تقسیم کرد و برای هر دامنه مقدار ثابت نرخ سینتیک متوسطی درنظر گرفت. بنابراین می‌توان مقدار تقریبی ثابت نرخ سینتیک کلی خوراک را پیش‌بینی نمود. یعنی اگر سهم هر کدام از این محدوده‌های ابعادی در خوراک تغییر کند، سینتیک کلی خوراک نیز تغییرخواهد کرد.

شکل ۵ بازیابی خاکستر تجمعی، نسبت به زمان ماند در ردیف‌های پرعيارکنی اولیه و رمق گیر برای محدوده $+75$ تا -300 نتایج آزمایش‌های سینتیک در محدوده‌های ابعاد مختلف

جدول ۴- نتایج آزمایش‌های سینتیک در محدوده‌های ابعاد مختلف

اندازه ذرات (μm)	وزنی	درصد	آزمایشگاهی K (1/min)	انحراف معیار (1/min)	میانگین K آزمایشگاهی (1/min)	آزمایشگاهی (1/min)	انحراف معیار (1/min)	میانگین انحراف معیار (1/min)	میانگین انحراف معیار (1/min)
<75	۳۳	۰/۵	۰/۱	۰/۰۱	۰/۰۱	۰/۰۱	۰/۰۱	۰/۰۱	۰/۰۱
$+75-150$	۱۷/۲	۱/۹۲	۱/۹۲	۰/۱۸	۰/۲۱	۰/۲۲	۰/۲۲	۰/۲۱	۰/۲۰
$+150-300$	۲۹/۸	۲/۳	۲/۳	۰/۲۲	۰/۵۳	۰/۲۵	۰/۲۵	۰/۵۳	۰/۲۰
$+300-500$	۹/۷	۲/۲۵	۲/۲۵	۰/۵۳	۰/۱۴	۰/۱۹	۰/۱۹	۰/۱۴	۰/۳۷
$+500-710$	۵/۷	۵/۷	۵/۷	۰/۲۱	۰/۲۱	۱/۶۸	۱/۶۸	۰/۲۱	۰/۲۱
$+710-1000$	۲/۱	۱/۶۸	۱/۶۸	۰/۲۱	۰/۲۲	۰/۷۴	۰/۷۴	۰/۲۲	۰/۳۷
>1000	۲/۵	۰/۷۴	۰/۷۴						

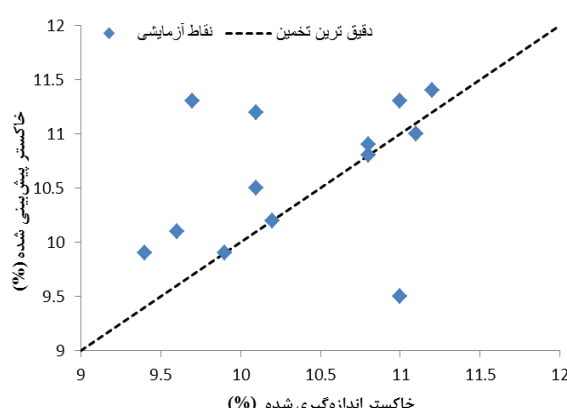
جدول ۵: رابطه حاصل از برازش داده‌های سینتیک مدار سینتیکی با دو نرخ شناوری

غیر خاکستر				خاکستر				اندازه ذرات (μm)
$R_{\infty}(\%)$	$K_f(1/\text{min.})$	$\Phi(\%)$	$K_s(1/\text{min.})$	$R_{\infty}(\%)$	$K_f(1/\text{min.})$	$\Phi(\%)$	$K_s(1/\text{min.})$	

۹۲	۱/۵	۵۲	۰/۱	۸۴	۱/۱	۲۲	۰/۰۲	+ ۳۰۰
۹۳	۰/۸	۵۲	۰/۱	۶۴	۰/۹	۱۱	۰/۰۶	+ ۷۵ - ۳۰۰
۹۵	۰/۹	۵۱	۰/۱	۷۵	۰/۶	۱۶	۰/۰۳	- ۷۵

جدول ۶- مشخصات گونه‌های مختلف در خوراک ورودی به مدار فلوتاسیون

گونه	سهم از خوراک (%) X_i	درصد زغال Coal	دانسیته ρ_s (mt/m ³)	ثابت سینتیک $K (\text{min}^{-1})$
۱	۳۵/۵	۱۰۰	۰/۹	۰/۹۵
۲	۳۳/۷	۱۰۰	۱/۲	۰/۱
۳	۲/۸	۰	۱/۸	۰/۸
۴	۱۵/۹	۰	۲	۰/۰۴
۵	۱۲/۲	۴۵	۲/۲	۰

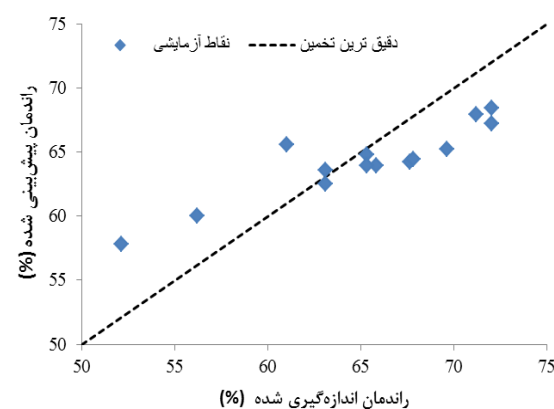


شکل ۷: مقایسه محتوای خاکستر محصول پر عیار واقعی و پیش‌بینی شده

استفاده از متوسط ثابت نرخ‌های سینتیک صنعتی در این مدل‌سازی باعث شده است که بیشترین دقت مدل در شرایط متوسط کارخانه (راندمان حدود ۶۴ درصد فلوتاسیون) و کمترین دقت مدل در زمانی ایجاد شود که شرایط عملیاتی از شرایط متوسط فاصله می‌گیرد. علاوه بر این استفاده از شرایط متوسط کاری باعث گرایش راندمان تخمینی به سمت متوسط راندمان شده است، در نتیجه راندمان تخمینی با مدل در راندمان‌های بالاتر از متوسط، کمتر از راندمان واقعی و در راندمان‌های پایینتر از متوسط بیش از راندمان واقعی است. البته در همه این حالات با حداطمینان ۹۵ درصد، اختلاف بین راندمان واقعی و محدوده راندمان پیش‌بینی شده بین ۱/۴ تا ۱۰/۹ ۵/۷ درصد است که معادل خطای نسبی بین ۱/۴ تا ۱۰/۹ درصد می‌باشد. نتایج مربوط به محتوای خاکستر نیز نشان می‌دهد که با حد اطمینان ۹۵ درصد، اختلاف بین خاکستر واقعی

۷-۲- مدل‌سازی مدار فلوتاسیون

برای بررسی اعتبار مدل به کارگرفته شده در پیش‌بینی راندمان و درصد خاکستر محصول فلوتاسیون، ۱۴ نمونه در یک بازه‌ی زمانی ۵۰ روزه از خوراک فلوتاسیون گرفته شد و پارامترهای متالورژیکی در این روزها با استفاده از مدل محاسبه شدند. همچنین کارآیی (راندمان و محتوای خاکستر محصول پر عیار) مدار فلوتاسیون کارخانه با استفاده از نمونه‌های تهیه شده نیز بدست آمد. شکل‌های ۶ و ۷ مقایسه نتایج واقعی و نتایج مدل‌سازی را نشان می‌دهند. خطوط نشان داده شده در این منحنی‌ها حد بالا و پایین تخمین راندمان و محتوای خاکستر (با احتمال ۹۵ درصد) را نشان می‌دهند. شایان ذکر است که حد بالا و پایین تخمین‌ها با توجه به انحراف معیار نسبی ثابت نرخ سینتیک دامنه‌های ابعادی مختلف (جدول ۴) محاسبه شده است.



شکل ۶: مقایسه راندمان واقعی و راندمان پیش‌بینی شده

تقدیر و تشکر

بدینویسیله از همکاری مدیریت و پرسنل کارخانه زغالشویی زرند بدلیل همکاری و اجازه انتشار نتایج این تحقیق تشکر می‌گردد.

۵- مراجع

- 1- Lynch, A.J., Johnson, N.W., Manlaping, E.V., Thorne, C.G., *Mineral and coal flotation circuits*, Elsevier Scientific, NewYork, pp. 56-96, 1981.
- 2- Ghobadi, P., *Application of genetic algorithms in flotation networks optimization*, M. Eng. Thesis in Department of Mining Engineering, Shahid Bahonar University, Kerman, Iran, 2010.
- 3- Loveday, B.K., Brouckaert, C.J., *An analysis of flotation circuit design principles*, Chemical Engineering Journal 59, 15–21. 1995.
- 4- Ferreira, J.P., Loveday, B.K., *An improved model for simulation of flotation circuits*, Minerals Engineering 13, 1441–1453, 2000.
- 5- Dey, A.K., Kapur, P.C., Mehrotra, S.P., *A search strategy for optimization of flotation circuits*, Int. J. Miner.Process. 26, pp. 73- 93, 1989.
- 6- Farmad, A.R., Yahyaei, M., Banisi, S., *Determination of material residence time distribution in grinding and flotation circuits using spreadsheets*, 3th Iranian Mining Engineering Conference, Yazd University, pp. 1998-2004, 2010.
- 7- Ghobadi, P., Yahyaei, M., Banisi, S., *Optimization of the performance of flotation circuits using a genetic algorithm oriented by process-based rules*, International Journal of Mineral Processing, 98, 174-181, 2011.
- 8- Gupta, A., Yan, D.S., *Introduction to mineral processing design and operation*, Elsevier 2006.

و محدوده خاکستر پیش‌بینی شده قابل قبول می‌باشد و با همین حد اطمینان، خطای نسبی پیش‌بینی خاکستر بین ۷/۸ تا ۱۴/۷ درصد می‌باشد. البته با توجه به مقادیر مطلق این اعداد اختلاف بین مقدار واقعی و مقدار مطلق پیش‌بینی شده خاکستر بین ۰/۹ - ۰/۴ درصد است که در عمل ناچیز می‌باشد. بنابراین با استفاده از مدل می‌توان با پیش‌بینی راندمان و خاکستر محصول پرعيار، جهت بهبود فرآيند فلوتايسیون با ایجاد شرایط مناسب اقدام نمود.

۳- نتایج

- زمان ماند متوسط در سلول‌های پرعيارکنی اولیه، رمک‌گیر و پرعيارکنی ثانویه مدار فلوتايسیون کارخانه زغالشویی زرند با استفاده از ردیاب نمک، به ترتیب برابر با ۶/۶، ۶/۹ و ۶/۱۲ دقیقه بدست آمد.
- مطالعات سینتیکی انجام‌شده روی خوارک نشان داد که می‌توان آن را جهت استفاده در مدل‌سازی به ۵ گونه بر اساس قابلیت شناورشدن تقسیم نمود.
- روشی سریع برای پیش‌بینی راندمان و محتوای خاکستر لحظه‌ای مدار فلوتايسیون با استفاده از سرندکردن خوارک ورودی و یافتن سهم هر کدام از این ابعاد، پیشنهاد گردید.
- با استفاده از مدل‌سازی سینتیکی اختلاف بین مقدار واقعی و مقدار مطلق مدل‌سازی راندمان در حد اطمینان ۹۵ درصد، بین ۱/۴ تا ۵/۷ درصد بدست آمد.
- با استفاده از مدل‌سازی سینتیکی اختلاف بین مقدار واقعی و مقدار مطلق مدل‌سازی محتوای خاکستر محصول پرعيار در حد اطمینان ۹۵ درصد، بین ۰/۹ - ۰/۴ درصد بدست آمد.